

# การควบคุมการรีดเหล็กกล้า

## (Controlled Rolling of Steel)

ดร.ประسنศ์ ศรีเจริญชัย  
ภาควิชาวิศวกรรมโลหการ  
คณะวิศวกรรมศาสตร์ จุฬาลงกรณ์มหาวิทยาลัย

### คำนำ

Thermo-mechanical treatment (TMT) รวมกระบวนการทางความร้อนและการแปรรูปโลหะ เพื่อเปลี่ยนแปลงรูปร่างและทำให้โครงสร้างจุลภาคเล็กกระเด็นในเวลาเดียวกัน การรีดร้อนโลหะจะเป็น TMT แบบหนึ่งที่มีบทบาทสำคัญในกระบวนการของเหล็กกล้าหลายชนิดจากเหล็กกล้าคาร์บอนต่ำถึงเหล็กกล้ารีสันิมที่มีธาตุผสมสูง ในกระบวนการผลิต (fabrication) แบบเก่าที่ทำการหล่อ ingot แซวไว้ที่ อุณหภูมิสูง 1200–1300 °C และรีดร้อนเป็น billet, bar และ sheet เป็นการทำลายโครงสร้างจากการหล่อที่ท้ายบโดยการแตกผลึกใหม่ (recrystallization) ข้าๆ กันของเหล็กกล้าในสภาพที่เป็นօอสเทนในที่และการลดความไม่สม่ำเสมอของส่วนผสมจาก segregation ระหว่างการหล่อลงที่ละเล็กที่ละน้อย พวກ non-metallic inclusion อย่างออกไซด์ ซิลิกेटชัลไฟต์ ถูกรีดจนแตก ถูกแปรรูปและทำให้กระฉัดกระจายทั่วเนื้อเหล็กให้สม่ำเสมออย่างมากกว่าเดิม

กระบวนการรีดร้อนได้กลายเป็นการทำงานที่ถูกควบคุม ใกล้ชิดมากขึ้น และใช้กับเหล็กกล้ามาตรฐานสมतำที่คำนึงถึง ส่วนผสมอย่างดีเพื่อให้ได้คุณสมบัติเชิงกลที่เหมาะสม หลังจากลิ้นสุดการแปรรูปอ่อน ในกระบวนการนี้มีหลายขั้นตอนของ การรีดร้อนเป็นการควบคุมอุณหภูมิ ปริมาณการลดลงในแต่ละ pass จะถูกกำหนดล่วงหน้ารวมทั้งอุณหภูมิสุดท้าย

กระบวนการนี้เรียกว่า การควบคุมการรีด (controlled rolling) ซึ่งปัจจุบันเป็นกระบวนการสำคัญในการให้ได้คุณสมบัติ เชิงกลที่แน่นอนของเหล็กกล้าที่ใช้ทำห่อ สะพาน และชิ้นส่วน ทางวิศวกรรมอื่นๆ

### การควบคุมการรีดของเหล็กกล้ามาตรฐานสมตำ

ความแข็งแรงของเหล็กกล้ามาตรฐานสมตำที่ผ่านการรีดร้อน มาเพิ่มขึ้นได้โดยการเติมคาร์บอนถึง 0.4% และแมงกานีสถึง 1.5% ให้ได้แรงคราก (yield stress) 350–400 MN/m<sup>2</sup> แต่เหล็กกล้าชนิดนั้นมีโครงสร้างเป็นเฟอร์ไรท์-เพิร์ลไลท์ ซึ่งมีความแกร่ง (toughness) ไม่เพียงพอต่อการใช้งานหลายอย่าง ความแกร่งที่วัดจากอุณหภูมิเปลี่ยนแปลง จากเหนี่ยวเป็นประจำ (ductile/brittle transition temperature) นั้นลดลงอย่างมากตามการเพิ่มขึ้นของปริมาณ คาร์บอน กล่าวคือตามการเพิ่มขึ้นของปริมาณของเพิร์ลไลท์ (ดูรูปที่ 1)

นอกจากนี้การเขื่อน ทำให้เกิดปัญหาการแตกกับเหล็ก ที่มีปริมาณคาร์บอนสูงซึ่งจัดออกได้โดยการใช้เหล็กกล้าที่มี คาร์บอนต่ำกว่า จึงเกิดความต้องการที่จะสร้างเหล็กที่มีขนาด เกรนของเฟอร์ไรท์ที่เล็กกระเด็น ทำให้เกิดความคิดที่จะควบคุมการรีดในสภาพที่เป็นօอสเทนในที่

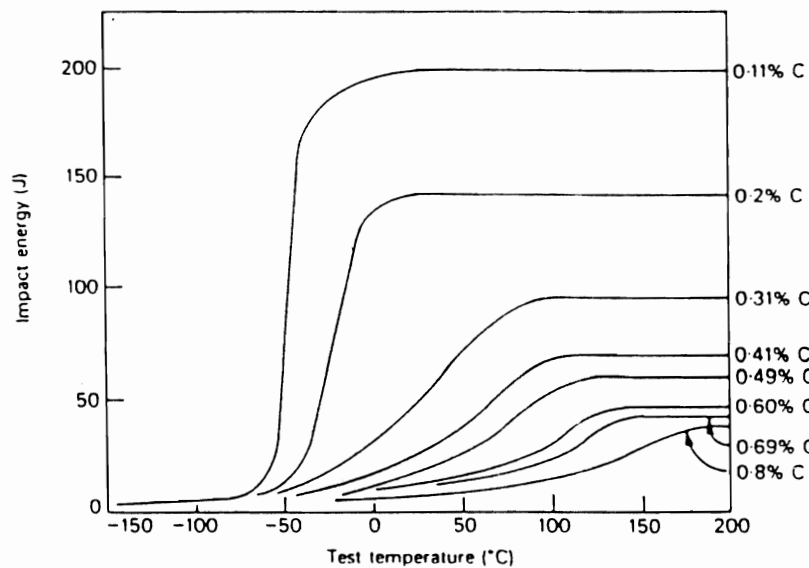


Fig. 1 Effect of carbon content on the impact transition temperature curves of ferrite/pearlite steels  
(Pickering. In: *Micro-alloying 75*. Union Carbide Corporation, 1975)

การเติมธาตุบางชนิดเพียงเล็กน้อย (<0.1%) สามารถทำให้เหล็กมีขนาดเกรนละเอียด ธาตุเหล่านี้มี Nb, Ti, V และ Al การเติมธาตุเหล่านี้กับเหล็กที่มีคาร์บอน 0.03–0.08% และแมงกานีสถึง 1.5% ทำให้ได้เหล็กมีเกรนละเอียดที่มีแรงค่า 450–550 MN/m<sup>2</sup> (ปกติเหล็กกลมุน (mild steel) มีความแข็งแรง 220–250 MN/m<sup>2</sup>) และอุณหภูมิเปลี่ยนแปลงจากเหนียวเป็นเปราะต่ำขนาด -70 °C เหล็กชนิดนั้นเรียกว่า High Strength Low Alloy (HSLA) หรือ micro-alloyed steel

### การควบคุมขนาดเกรนระหว่างการควบคุมการรีด

กลไกของการทำให้เกรนละเอียดในการควบคุมการรีดคือการตกผลึกใหม่ของօอสเทนในที่ระห่วงการแปรรูปร้อนเรียกว่า dynamic recrystallization (DRX) กระบวนการนี้ได้รับอิทธิพลจากอุณหภูมิและตีกริการแปรรูปซึ่งเกิดขึ้นระหว่างแต่ละ pass ของลูกรีด แต่ในօอสเทนในที่ไม่มี particle อยู่ อุณหภูมิสูงในการรีดร้อนจึงนำไปสู่การโต๊ะขึ้นของเกรน (grain growth) อย่างรวดเร็ว ทำให้การทำให้เกรนละเอียดระหว่างการรีดร้อนมีผลน้อยลง

การปรับปรุงสภาพเช่นนี้ให้ดีขึ้นได้ ถ้ามีอนุภาค (particle) ที่ละเอียดใน matrix ของօอสเทนในที่ พากอนุภาคมักจะอยู่ตามขอบเกรน ช่วงสั้นๆ ของขอบเกรนจะถูก

แทนที่ด้วย อนุภาค เมื่อขอบเกรนพยายามจะเคลื่อนที่ออกจากอนุภาคนั้น จะเกิด drag บนขอบเกรนจากอนุภาค ทำให้หน่วงเหนี่ยวการเคลื่อนที่ของขอบเกรน

การตั้งขอบเกรนโดย อนุภาค พิจารณาได้จากสูตร

$$r_{\text{crit}} = \frac{6r_0 f}{\pi} \left( \frac{3}{2} \cdot \frac{2}{z} \right)^{-1}$$

$z$  เป็นอัตราส่วนของรัศมีของ matrix กับ เกรนที่กำลังโตขึ้น

$f$  คือ volume fraction ของ อนุภาค

$r_0$  คือ ขนาดของอนุภาค

เมื่อขนาดของอนุภาคเล็กกว่า  $r_{\text{crit}}$  ตัว อนุภาค จะสามารถตั้งการเคลื่อนที่ของขอบเกรนไว้ได้

การควบคุมขนาดเกรนที่อุณหภูมิสูง ต้องมีการตกตะกอนที่ละเอียดตรงขอบเกรนและไม่ล่อลายอย่างสมบูรณ์ ในօอสเทนในที่แม้แต่ที่อุณหภูมิ 1200–1300 °C ธาตุที่ทำให้เกรนละเอียดที่ดีที่สุดคือพวาการ์บีดและในตรายด์ เช่น Nb, Ti, V และ Al ซึ่งอยู่แต่ในรูปของในตรายด์ (ครูปที่ 2) เนื่องจากมีทั้งคาร์บอนและไนโตรเจนในเหล็กกล้าและในตรายด์จะมีเสถียรภาพมากกว่าคาร์บีด จึงเป็นไปได้ว่า carbide ในตรายด์คือตัวทำให้เกรนละเอียดที่ได้ผลที่สุด ยกเว้นกรณีของ AlN

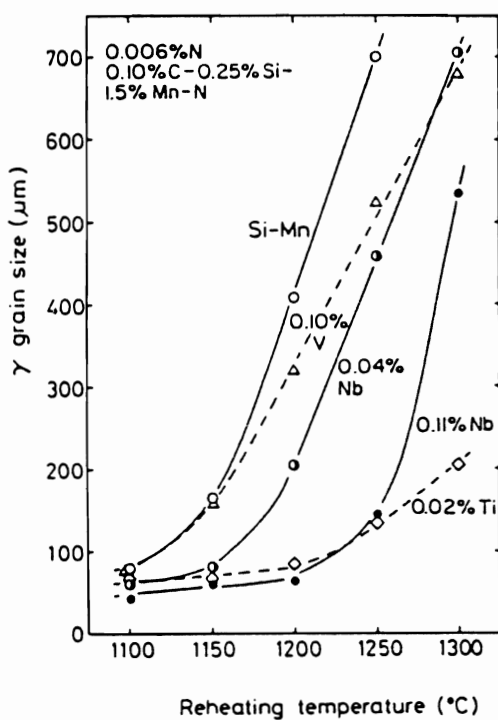


Fig. 2 Variation of  $\gamma$  grain size with reheating temperature

สิ่งที่สำคัญพอกันคือตีกริการละลายของ อุณหภูมิเหล่านี้ ในอุสเทนในที่ ต้องสามารถละลายได้เพียงพอที่อุณหภูมิการทำให้เป็นอุสเทนในที่สูงสุด เพื่อให้เกิดอุณหภูมิที่ลະเอียด ระหว่างการควบคุมการรีดที่อุณหภูมิต่ำลงเมื่อการรีดคีบหน้าไป solubility product ของคาร์ไบด์และไนตรายาร์ด หลายตัวแสดงไว้ในรูปที่ 3 ซึ่งเป็นพังก์ชั่นของส่วนประกอบของ อุณหภูมิสัมบูรณ์ พากสารประกอบเหล่านี้ลະลายได้น้อยแต่ เพิ่มขึ้นในช่วงอุณหภูมิวิกฤต ( $900-1300\text{ }^{\circ}\text{C}$ ) (ดูรูปที่ 4) ในทางตรงกันข้าม คาร์ไบด์ของโครงเมียมและโมลิบดินัม มีความสามารถในการละลายสูงกว่ามาก ซึ่งจะละลายอย่าง สัมบูรณ์ในอุสเทนในที่ถ้าอุณหภูมิสูงพอ และจะไม่ตกละกอน จนกว่าจะถึงอุณหภูมิต่ำกว่าช่วงอุณหภูมิวิกฤตสำหรับการเติบโต ของเกรน (grain growth)

สมการต่อไปนี้ใช้สำหรับความสามารถในการละลาย แสดงเป็น % โดยหน่วยกับพังก์ชั่นของ  $T$

$$\begin{aligned} \log_{10}[\text{Al}] [\text{N}] &= -6770/T + 1.03 \\ \log_{10}[\text{V}] [\text{N}] &= -8330/T + 3.46 \\ \log_{10}[\text{Nb}] [\text{C}] &= -6770/T + 2.26 \\ \log_{10}[\text{Ti}] [\text{C}] &= -7000/T + 2.75 \end{aligned}$$

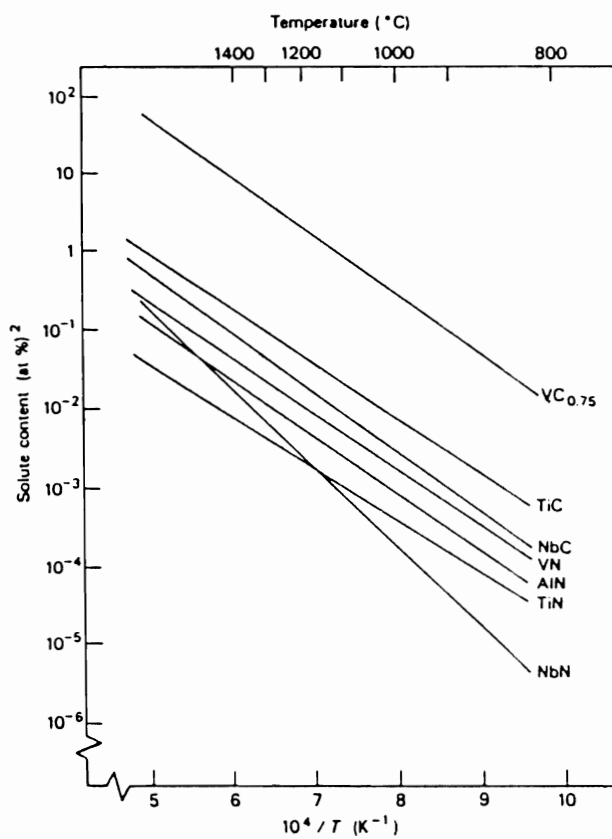
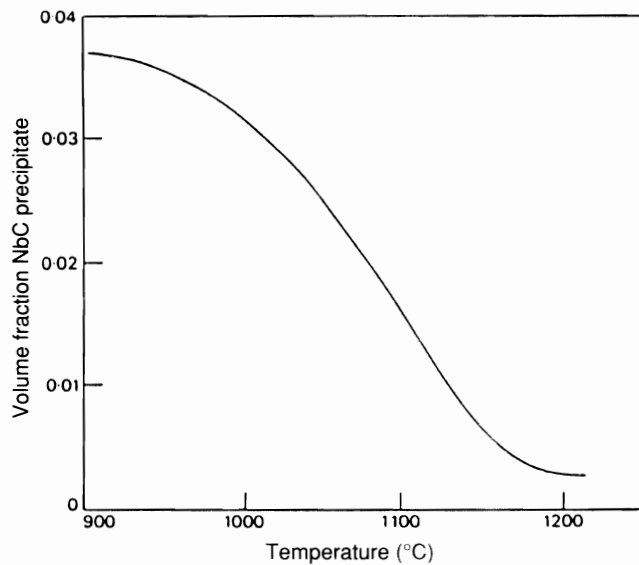


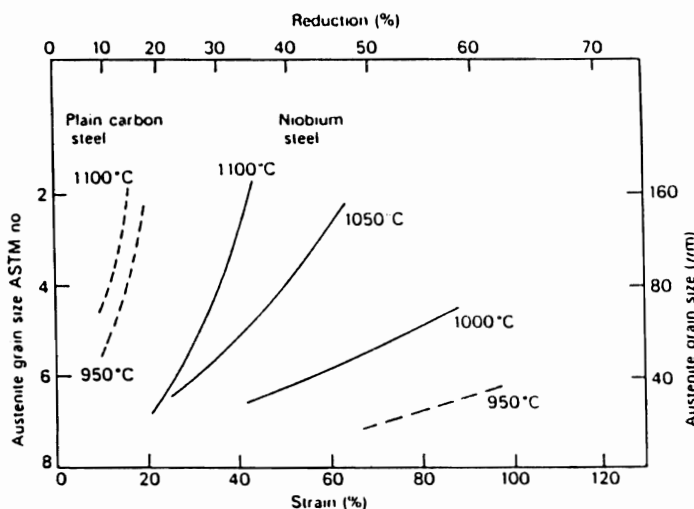
Fig. 3 Solubility products of carbides and nitrides in austenite as a function of temperature (Aronsson. In: *steel Strengthening Mechanisms*. Climax Molybdenum Co., 1969)



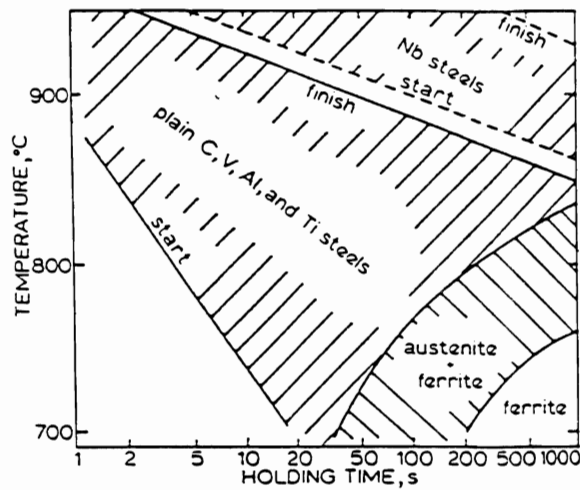
**Fig. 4** Solubility curve for NbC in a steel with 0.15C 1.14Mn - 0.04Nb  
(Hoogendoorn and Spanraaf. In: *Micro - alloying 75*. Union Carbide Corporation. 1975)

ส่วนผสมของธาตุผสมใน HSLA steel อาจมีต่างๆ กัน จึงจะกล่าวถึงหลักการทั่วไปที่ใช้กับสารประกอบที่เป็นตัวทำให้เกรนละเอียดอย่างได้ผล เมื่ออาจจำกัดการโตขึ้นของเกรนที่อุณหภูมิการทำให้เป็นօสเทนในที่ได้บังจากกระบวนการกระจาย (dispersion) ที่เหลืออยู่ การทำให้เกรนละเอียดในเหล็กนั้นคือระหว่างการรีดขณะที่อุณหภูมิลดลงมาตามลำดับและcarbo - ไนตรายต์ละเอียดแตกตะกอนจากօสเทนในที่ precipitate ใหม่จะทำให้

- เพิ่ม strain ที่การตกผลึกใหม่เริ่มเกิด (รูปที่ 5)
  - จำกัดการเคลื่อนที่ของขอบเกรน (รูปที่ 6)
- օสเทนในที่อาจจะเกิดการตกผลึกใหม่ท้ายครั้ง ระหว่างการควบคุมการรีด และผลทั้งหมดจะเป็นการทำให้เกรนօสเทนในที่ละเอียดมาก เมื่ออุณหภูมิของเหล็กลดลงมาถึงอุณหภูมิการเปลี่ยนเฟสօสเทนในที่/เฟอร์ไรท์ การแปรรูปօสเทนในที่ในขั้นหลังๆ ที่อุณหภูมิต่ำกว่าอาจไม่เกิดการตกผลึกใหม่อีก ทำให้ได้เกรนօสเทนในที่ถูกแปรรูปมา



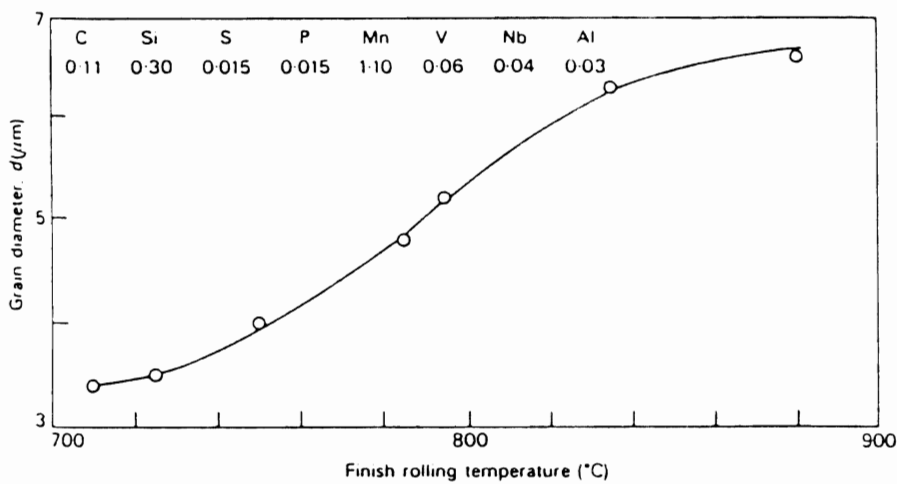
**Fig. 5** Critical Strain needed to complete recrystallization of austenite as a function of deformation temperature and grain size. Comparison of Nb steel with plain carbon steel (Tanaka et al., In: *Micro - alloying 75*. Union Carbide Corporation. 1975)



**Fig. 6** Recrystallization of austenite following single deformation of 50% in various steels;

มีรูปร่างยาวยังและแบบจากการรีดอาจเปลี่ยนเฟสโดยตรงไปสู่เฟอร์ไรท์ ในขั้นสุดท้ายของการควบคุมการรีด การโต้เข็นของเกรนของอสเทนในห้องไม่เกิดขึ้น ด้วยการเย็นตัวเร็วจากอุณหภูมิสุดท้าย (*finishing temperature*) ซึ่งทำให้การเปลี่ยนเฟสของสเทนในห้อง/เฟอร์ไรท์เกิดขึ้นได้เล่น Ar, ปัจจุบันนี้จะรีดต่อไปในช่วงการเปลี่ยนเฟสของสเทนในห้อง/เฟอร์ไรท์หรือแม้แต่บริเวณที่เป็นเฟอร์ไรท์ทั้งหมด การทำแบบนั้นทำให้ขนาดเกรนเล็กลงและแรงครากสูงขึ้นในชิ้นงานสุดท้าย (รูปที่ 7) แต่ load ที่จะใช้ในการรีดก็สูงขึ้นมาก

จากการใช้การควบคุมการรีด และการกระจายของคาร์บีนในตรายด์ที่ละเอียดในเหล็กกล้าธาตุผสมต่ำ มีความเป็นไปได้ที่จะให้ได้เฟอร์ไรท์ที่มีขนาดเกรน 5–10 ไมครอน จากความสัมพันธ์ Hall-Petch ระหว่างขนาดเกรนกับแรงคราก ใช้กับ micro-alloyed steel ได้เป็นเส้นตรงระหว่างแรงครากกับ  $1/\sqrt{d}$  (ดูรูปที่ 8) การเติม 0.05–0.09% Nb กับเหล็กกล้าคาร์บอนหรรมดา ทำให้ขนาดเกรนของเฟอร์ไรท์ละเอียด  $<5$  ไมครอน ( $1/\sqrt{d}=14$ ) และมีค่าแรงครากสูงขึ้นมาก การเพิ่มขึ้นประมาณ 100 MN/m<sup>2</sup>ระหว่างเหล็ก C-Mn และเหล็ก C-



**Fig. 7** Effect of finish rolling temperature on final ferrite grain size of a micro - alloyed steel (after McKenzie. *Proc. Rosenhain Centenary Conference*. Royal Society.)

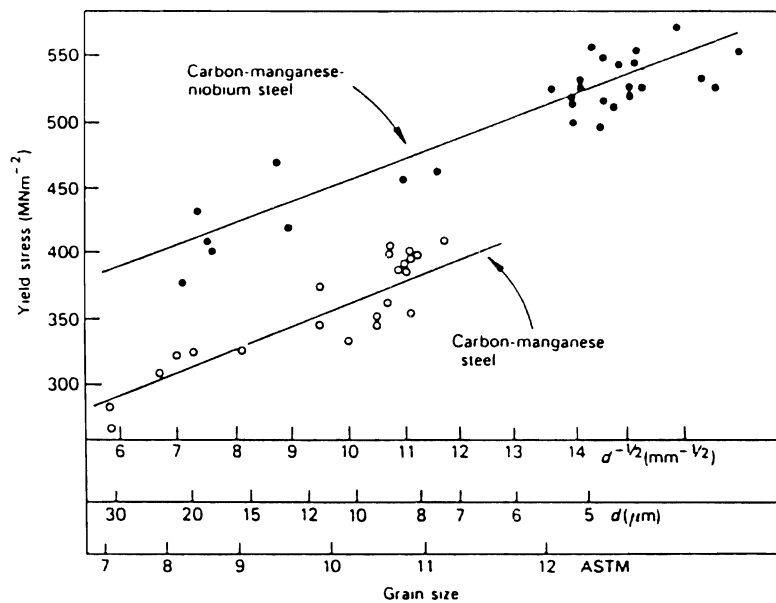


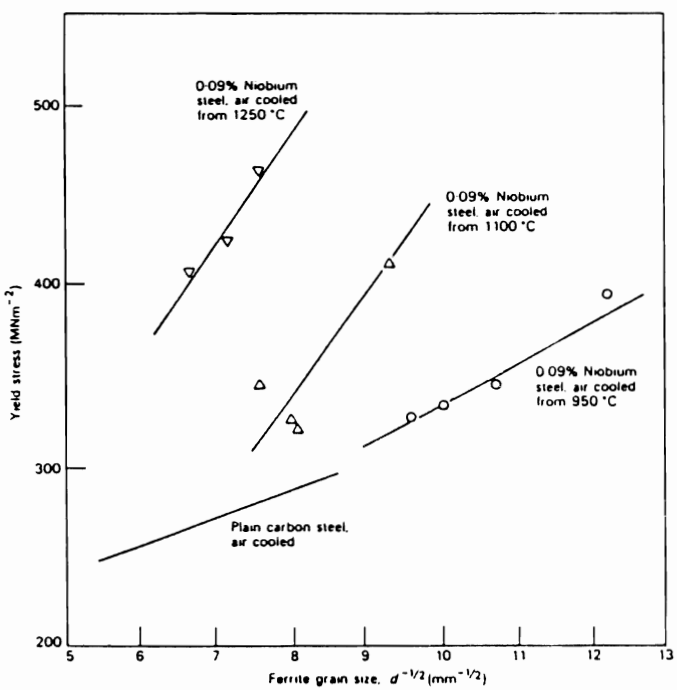
Fig. 8 Effect of grain size on yield stress of a carbon - manganese - niobium steel (Le Bon and Saint Martin. In: *Micro - alloying 75*. Union Carbide Corporation. 1975)

Mn-Nb เกิดจาก dispersion strengthening จาก NbC ดูรูปที่ 9 เส้น curve 2 เส้นล่างจากเส้นงานที่เย็นตัวในอากาศหลังจากทำเป็นօอสเทนในที่ที่  $950^{\circ}\text{C}$  ถ้าทำเป็นօอสเทนในที่ที่ อุณหภูมิสูงขึ้น เช่น  $1100^{\circ}\text{C}$  และ  $1250^{\circ}\text{C}$  ตามด้วยการเย็นตัวในอากาศจะได้กราฟเส้นตรงที่มีความลาดชันกว่า แสดงทั้ง การเพิ่มขึ้นอย่างมากของแรงครากกับขนาดเกรน การเพิ่มขึ้นมากนี้เนื่องจากการตกตะกอนของ NbC ระหว่างการเย็นตัว หลังจากทำเป็นօอสเทนในที่ที่อุณหภูมิสูงขึ้น

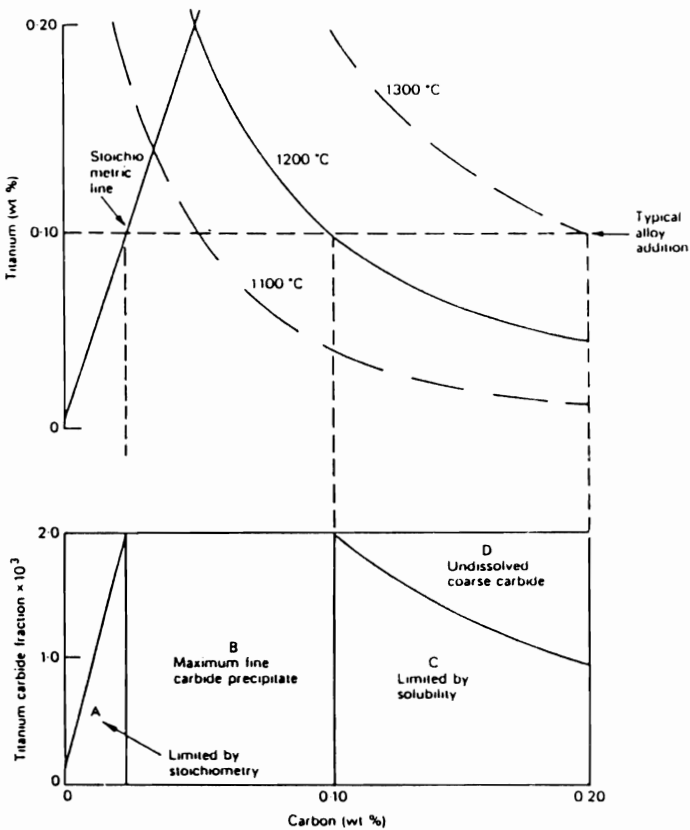
Dispersion strengthening ระหว่างการควบคุมการรีด จากข้อมูลของความสามารถในการละลายบวกเป็นนัยว่า ใน micro - alloyed steel คาร์บไบด์และคาร์บไบด์ Nb, Ti และ V จะตกตะกอนต่อเนื่องระหว่างการควบคุมการรีด เมื่ออุณหภูมิลดลง ขณะที่ผลเบื้องต้นของ dispersion ที่ ละเอียดเหล่านี้คือการควบคุมขนาดเกรนก็เกิด dispersion strengthening ด้วย การแข็งขึ้นจากเหตุนี้จะขึ้นกับทั้งขนาดของอนุภาคของօอสเทนในที่และ interparticle spacing โดย parameter นี้จะขึ้นกับชนิดของสารประกอบที่จะตกตะกอนและปริมาณธาตุผสมจำนวนน้อย micro - alloying element ในเหล็กกล้า แต่อุณหภูมิการละลาย (solution temperature) สูงสุดและรายละเอียดของประวัติการควบคุมการรีดก็เป็นตัวแปรที่สำคัญ

เป็นที่ทราบกันว่าการตกตะกอนไม่ใช่เกิดในօอสเทนในที่เท่านั้น แต่ยังเกิดในระหว่างการเปลี่ยนเฟสเป็นเฟอร์ไรท์ การตกตะกอนของคาร์บไบด์ของ Nb, Ti และ V เกิดต่อเนื่องกัน การตกตะกอนมีขนาดเล็กมากระหว่าง  $650-850^{\circ}\text{C}$  เป็นไปได้ว่ามีส่วนสำคัญในการทำให้เกิด dispersion strengthening ในการที่ VC มีความสามารถในการละลายในօอสเทนในที่สูงกว่า ผลจะมีมากน้อยเมื่อมีธาตุนี้กับ Ti และ Nb ตามลำดับ ถ้าอัตราการเย็นตัวเมื่อผ่านการเปลี่ยนเฟสสูงทำให้เกิด acicular ferrite ที่อ่อนตัวยิ่งยวด คาร์บไบด์จะตกตะกอนในเกรนตาม dislocation ที่มีมากในเฟอร์ไรท์แบบนี้

เมื่อได้ส่วนผสมที่เหมาะสมกับ micro - alloyed steel แล้ว volume fraction สูงสุดของ precipitate ที่จะละลายในสารละลายของแข็งของօอสเทนในที่ที่อุณหภูมิสูงให้จากการคำนวณ (stoichiometric composition) กล่าวคือถ้าใช้ Ti (at.wt.=47.9) จะรวมตัวกับประมาณหนึ่งในสี่ของน้ำหนักของคาร์บอน (at.wt.=12) เช่น 0.025%C กับ 0.10%Ti ในรูปที่ 10 เส้น stoichiometric ของ TiC ต่อออกไปบนเส้นความสามารถในการละลายของ TiC ที่  $1100^{\circ}\text{C}$ ,  $1200^{\circ}\text{C}$  และ  $1300^{\circ}\text{C}$  ถ้าพิจารณาการตกตะกอนในเหล็กที่มี 0.10%Ti เย็นตัวจาก  $1200^{\circ}\text{C}$  ที่ปริมาณคาร์บอนต่ำ (ข้างข่ายของเส้น stoichiometric) ปริมาณคาร์บไบด์ถูกจำกัดโดยปริมาณ



**Fig. 9** Effect of austenitizing temperature on the yield strength of a 0.1C - 0.6 Mn - 0.09Nb steel (Gladman *et al.*, In: *Micro - alloying 75*. Union Carbide Corporation. 1975)



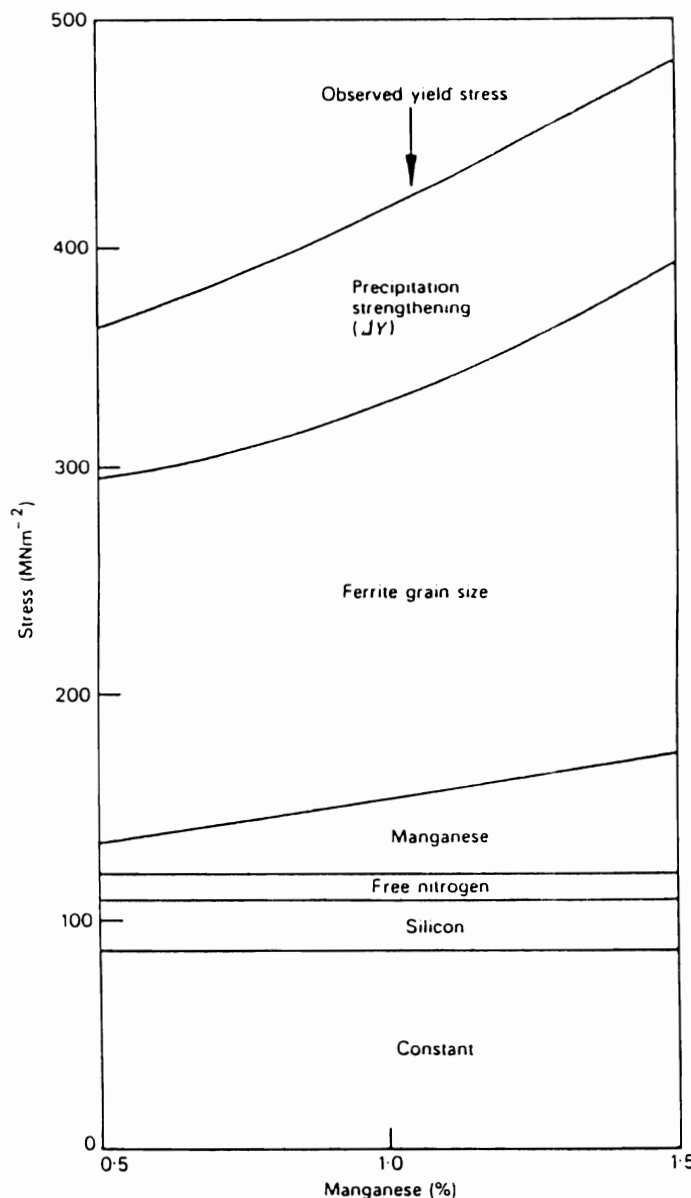
**Fig. 10** Effect of stoichiometry on the precipitation of TiC in a micro - alloyed steel (Gladman *et al.*, In: *Micro - alloying 75*. Union Carbide Corporation. 1975)

คาร์บอนคีอิโซน A ที่กราฟล่าง สำหรับปริมาณคาร์บอนระหว่างเส้น stoichiometric กับ เส้นความสามารถในการละลายที่  $1200^{\circ}\text{C}$  potential สูงสุดของ volume fraction ของ TiC ที่เล็กเหลือยดจะฟอร์มตัวจากการเย็นตัว (โซน B) เมื่อปริมาณของคาร์บอนเกินค่าจำกัดของความสามารถในการละลาย ( $>0.10\%$ ) Ti จะตกตะกอนอย่างต่อเนื่องที่  $1200^{\circ}\text{C}$  เป็นคาร์บไบด์ทราย ทำให้ลดปริมาณ Ti ที่จะรวมตัวกับคาร์บอนเป็น TiC และเอียดระหว่างการเย็นตัว เนื่องจากคาร์บไบด์ทรายไม่ขัดขวางการโต้ขันของเกรน จึงไม่ต้องการให้เกิดคาร์บไบด์แบบนี้ อุณหภูมิการทำให้เป็นօอสเทนในที่สูงเป็นลิ้งจำเป็น

ที่จะให้ได้ประโยชน์สูงสุดจากการตกตะกอนของคาร์บไบด์เหลือยดนี้

### ความแข็งแรงของ micro-alloyed steel

ในการควบคุมการรีดเหล็กกล้า micro-alloyed มีกลไกการทำให้แข็งขึ้นอยู่อย่างน้อย 3 ชนิด ซึ่งทำให้ได้ความแข็งแรงสุดท้ายที่ต้องการ หาได้จากส่วนผสมของเหล็กและรายละเอียดของ TMT ที่ทำกับเหล็กกล้า พิจารณาเหล็กที่มี  $0.2\% \text{C}$ ,  $0.2\% \text{(Si)}$ ,  $0.15\% \text{V}$  และ  $0.15\% \text{N}$  กับการเพิ่มปริมาณแมงกานีส ดังรูปที่ 11



**Fig. 11** The contributions to strength in a  $0.2\% \text{C} - 0.15\% \text{V}$  steel as a function of Mn content (Gladman *et al.*, In: *Micro-alloying 75*. Union Carbide Corporation. 1975)

ประการแรกคือ solid solution strengthening ที่เพิ่มชั้นจาก Mn, Si และ N อิสระ

ประการที่สองคือ ขนาดเกรนที่เพิ่มขึ้น แรงครากก์มีปริมาณที่เพิ่มขึ้นซึ่งแปรตามรายละเอียดของ TMT

ประการสุดท้ายคือ การเพิ่มชั้นของ dispersion Strengthening

ผลกระทบทั้งหมดคือการมีแรงคราก 350–500 MN/m<sup>2</sup> ในตัวอย่างนี้เหล็กเย็นตัวในอากาศจาก 900 °C แต่ถ้าควบคุมการรีดมาถึง 800 °C หรือต่ำกว่า ความแข็งแรงจะเพิ่มขึ้นมาก

ผลของอุณหภูมิสุดท้ายของการรีดมีความสำคัญต่อการได้ขนาดเกรนและได้ความแข็งแรงระดับที่ต้องการสำหรับเหล็กชนิดนั้นๆ การรีดผ่านช่วงการเปลี่ยนเฟสจนถึงช่วงเกิดเฟอร์ไรท์โดยสมบูรณ์เพื่อให้ได้ subgrain ของเฟอร์ไรท์ที่ละเอียดซึ่งความแข็งแรงจะเพิ่มขึ้น ในอีกแบบหนึ่งคือการหยุดการรีดเหนือการเปลี่ยนเฟสออกสเทนในท์/เฟอร์ไรท์ และเปลี่ยนธรรมชาติการเปลี่ยนเฟสโดยการเพิ่มอัตราการเย็นตัว การชดเป็นวง (coiling) ที่อุณหภูมิหนึ่งทำให้อัตราการเย็นตัวช้า จะให้ความแข็งแรงที่ต่ำกว่าอัตราการเย็นตัวเร็วโดยการฉีดน้ำหลังจากการรีด แบบเย็นตัวเร็วที่สามารถเปลี่ยนเฟอร์ไรท์

จาก equiaxed เป็น Widmanstatten ที่มีความหนาแน่นของ dislocation มากกว่ามาก จะได้เหล็กที่มีคุณสมบัติเชิงกลดี ในบางกรณี sharp yield stress จะหายไป ซึ่งเป็นประโยชน์ต่อการชั้นรูปแผ่นเหล็ก เช่น pipe manufacture ซึ่งต้องการ stress-strain curve ที่ต่อเนื่องกัน

## บทสรุป

การควบคุมการรีดเหล็กกล้ามีจุดมุ่งหมายที่จะให้ได้เกรนที่ละเอียดซึ่งเพิ่มความแข็งแรง และความแกร่งของเหล็กกล้าในสภาพที่ผ่านการรีดมา (as-hot-rolled condition) นอกจากนี้จากการที่ continuous casting สามารถประยัดพลังงานได้มากนั้น ทำให้มีความพยายามจะพัฒนาการควบคุมการรีดประสานกับ continuous casting นี้โดยการใช้แผ่นเหล็กร้อน (hot slab) เข้าไปในเตาเผาใหม่ (reheat furnace) แบบ Hot Charge Rolling (HCR) หรือการรีดต่อเนื่องโดยไม่ต้องเผาใหม่ แบบ Hot Direct Rolling (HDR) ซึ่งจะเป็นการเพิ่มประสิทธิภาพในการผลิตให้สูงยิ่งขึ้นไปอีก